



HAL
open science

Enveloppés dans du tissu. Le tombeau de Vitrasia Canthara, Staius Obinius Hermia et Staius Obinius Primus (Cumes – Campanie, deuxième moitié du 1er siècle av. J.-C.)

Jean-Pierre Brun, Priscilla Munzi, Giuseppe Camodeca, Laetitia Cavassa, Henri Duday, Fabienne Médard

► To cite this version:

Jean-Pierre Brun, Priscilla Munzi, Giuseppe Camodeca, Laetitia Cavassa, Henri Duday, et al.. Enveloppés dans du tissu. Le tombeau de Vitrasia Canthara, Staius Obinius Hermia et Staius Obinius Primus (Cumes – Campanie, deuxième moitié du 1er siècle av. J.-C.). J. Ortiz; C. Alfaro; L. Turell; M.^a J. Martínez. Textiles and Dyes in Antiquity. Textiles, Basketry and Dyes in the Ancient Mediterranean World. Proceedings of the Vth International Symposium on Textiles and Dyes in the Ancient Mediterranean World (Montserrat, 19-22 March, 2014), V, Publicacions Universitat de València, pp.87-101, 2016, Purpureae Vestes, 978-84-370-9451-9. halshs-01435626

HAL Id: halshs-01435626

<https://shs.hal.science/halshs-01435626v1>

Submitted on 22 Apr 2020

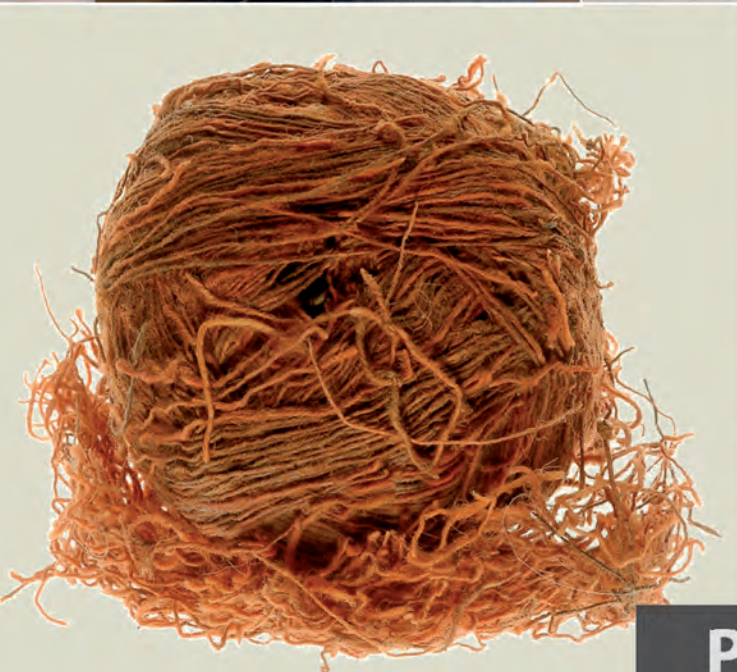
HAL is a multi-disciplinary open access archive for the deposit and dissemination of scientific research documents, whether they are published or not. The documents may come from teaching and research institutions in France or abroad, or from public or private research centers.

L'archive ouverte pluridisciplinaire **HAL**, est destinée au dépôt et à la diffusion de documents scientifiques de niveau recherche, publiés ou non, émanant des établissements d'enseignement et de recherche français ou étrangers, des laboratoires publics ou privés.



TEXTILES, BASKETRY AND DYES IN THE ANCIENT MEDITERRANEAN WORLD

J. Ortiz, C. Alfaro, L. Turell and M.^a J. Martínez (eds.)



*Textiles, Basketry and Dyes
in the Ancient Mediterranean World*

*Textiles, Cestería y Tintes
en el mundo mediterráneo antiguo*



Participants of the Vth *International Symposium on Textiles and Dyes in the Ancient Mediterranean World*
Santa Maria de Montserrat Abbey, Barcelona 2014

PURPUREAE VESTES V
Textiles and Dyes in Antiquity

Textiles, Basketry and Dyes
in the Ancient Mediterranean World

Textiles, Cestería y Tintes
en el mundo mediterráneo antiguo

**Proceedings of the Vth International Symposium on Textiles
and Dyes in the Ancient Mediterranean World
(Montserrat, 19-22 March, 2014)**

J. Ortiz, C. Alfaro, L. Turell and M.^a J. Martínez (eds.)

UNIVERSITAT DE VALÈNCIA

2016

Esta publicación no puede ser reproducida, ni total ni parcialmente, ni registrada en, o transmitida por, un sistema de recuperación de información, en ninguna forma ni por ningún medio, ya sea fotomecánico, fotoquímico, electrónico, por fotocopia o por cualquier otro, sin el permiso previo de la editorial.

© Los autores de los trabajos
© Universitat de València

Fotografías de la portada: K. Grömer; J. Cutler y M. Gleba; C. Gérentet-de-Saluneaux, C. James, F. Médard; C. Nauwerth; N. Sukenik, Z. Amar, A. Varvak, D. Iluz y N. Ben-Yehuda.
Fotografía contraportada: F. Meo.

Fotocomposición y maquetación: Artes Gráficas Soler, S. L.

ISBN: 978-84-370-9451-9
Depósito legal: V. 2.332 - 2016

Impresión: Artes Gráficas Soler, S. L.
www.graficas-soler.com

TABLE OF CONTENTS

	<i>Pag.</i>
Preface	9
Prefacio	10
Introduction	11
Introducción	15
Abbreviations	19

TEXTILES

M. SIENNICKA, A. ULANOWSKA: So simple yet universal. Contextual and experimental approach to clay ‘spools’ from Bronze Age Greece	25
K. GRÖMER: Colour, pattern and glamour. Textiles in Central Europe 2000-400 BC	37
J. CUTLER, M. GLEBA: Classical textile remains in the British Museum Collection	45
J. DE NICOLÁS: Tejidos y telares en la protohistoria menorquina	49
M. DARAGAN, M. GLEBA, O. BURAVCHUK: “Pandora’s box”: A textile tool set from a Scythian Burial in Ukraine	57
F. MEO: The textile economy on the gulf of Taranto in the 3rd-1st Centuries BCE	63
M. GARCÍA: Female dress in the Augustean Age	71
J.-P. BRUN, P. MUNZI, G. CAMODECA, L. CAVASSA, H. DUDAY, F. MÉDARD: Enveloppés dans du tissu. Le tombeau de <i>Vitrasia Canthara, stadius obinius hermia et stadius obinius primus</i> (Cumes – Campanie, deuxième moitié du 1er siècle av. J.-C.)	87
CL. GÉRENTET-DE-SALUNEAUX, C. JAMES, F. MÉDARD: Textile expertise in the first century of the Common Era in Egypt. Replication of a child’s cap from the tombs of Antinoopolis	103
M. S. BUSANA, A. R. TRICOMI: Textile archaeology in the Roman Venetia (Italy)	111
M. BUSTAMANTE, A. RIBERA: Un probable taller de tratamiento de lana en el complejo productivo de la Casa de Ariadna de Pompeya	119
M.-A. ANDRÉS-TOLEDO: Shrouds in ancient Zoroastrian funerary practices	129
E. PANERO, G. BOLZONI: Indices d’une activité artisanale lanière à <i>Vercellae</i> , Italie	137
J. CASINOS: On the economic and social category of garments in the Responsa of the Roman jurists	145
CL. NAUERTH: Les galons coptes lancés. Une approximation	155

P. BORREGO, S. SALADRIGAS, M. -A. ANDRÉS-TOLEDO: Technical and symbolic study of two complete mediaeval cloths found in Carrión de los Condes, Spain	163
N. BEN-YEHUDA: Dabiqui – made in Andalusia?	171

BASKETRY

C. ALFARO: Approches méthodologiques sur la corderie et la vannerie grecque archaïque: les trouvailles de Cala Sant Vicenç (Pollensa, Mallorca)	183
---	-----

DYES

S. APOSTOLAKOU, Ph. BETANCOURT, T. BROGAN, D. MYLONA: Chryssi and Pefka: the production and use of purple dye on Crete in the Middle and Late Bronze Age	199
S. SPANTIDAKI: Colour and textiles in Classical Attica	209
CH. COOKSEY: Pliny's first century AD recipe for a purple dye-vat – decoded	217
L. A. HIDALGO, M. BUSTAMANTE, D. BERNAL: Etiquetas comerciales de plomo para textiles en <i>Avgvsta Emerita</i>	221
B. LOWE: The dye shops of Pompeii	239
M ^a . J. MARTINEZ: Mordientes orgánicos y drogas fijadoras prescritas en los papiros <i>Graecus Holmiensis</i> y Leiden X	245
I. H. SZABOLCS: Yarn dyeing methodologies for Coptic textiles	257
N. SUKENIK, Z. AMAR, A. VARVAK, D. ILUZ: A re-evaluation of the textile dyes in the Cave of Letters	263
S. VICENTE, E. M. MONTESINOS, L. FUSTER, D. J. YUSÁ: American Indian dyestuffs: the influence of log-wood in the manufacture of black dyes in Europe (17th–19th centuries)	275

ABBREVIATIONS

ABSA	<i>Annual of the British School of Athens</i>
Acc. Chem. Res.	<i>Accounts of Chemical Research</i>
AA	<i>Αρχαιολογικόν Δελτίον</i>
AE	<i>L'année épigraphique</i>
AEA	<i>Aegean Archaeology</i>
AESC	<i>Annales. Économies, Sociétés, Civilisations</i>
AEspArq	<i>Archivo Español de Arqueología</i>
AHA	<i>Anales de Historia del Arte</i>
AJA	<i>American Journal of Archaeology</i>
Alb.	Albanese
AMC Rovereto	<i>Annali del Museo civico – Rovereto</i>
AnnalesESC	<i>Annales : Economies, Sociétés, Civilisations</i>
AnnSocBotLyon	<i>Annales de la Société botanique de Lyon</i>
ANRW	H. Temporini and W. Haase (dirs.), <i>Aufstieg und Niedergang der römischen Welt</i> , Berlin and New York, 1972-
ATR	<i>Archaeological Textiles Review</i>
AttiMGrecia	<i>Atti del Convegno di Studi sulla Magna Grecia</i> , Taranto, 1961-
Av.	Avestan
AZ	<i>Ayādgār ī Zarērān</i>
BCH	<i>Bulletin de correspondance hellénique</i>
Biosci. Biotech. Biochem.	<i>Bioscience, Biotechnology, and Biochemistry</i>
BMTB	<i>The British Museum Technical Bulletin</i>
BSFAC	<i>Bulletin de la société française d'archéologie classique</i>
CA	<i>Current Anthropology</i>
CAJ	<i>Cambridge Archaeological Journal</i>
CASC	Centre d'Arqueologia Subacuàtica de Catalunya
C.C.M.M.	Consorcio de la Ciudad Monumental, Histórico-Artística y Arqueológica de Mérida
ChicagoAchJ	<i>Chicago Archaeological Journal</i>
CIL	<i>Corpus Inscriptionum Latinarum</i> , Berlin, 1863–
CILCC II	J. Esteban Ortega, <i>Corpus de inscripciones latinas de Cáceres. II. Turgalium</i> , Cáceres, 2012
D.	<i>Digesta Iustiniani Augusti</i>
DHA	<i>Dyes in History and Archaeology</i>
DOP	<i>Dumbarton Oaks Papers</i>
DS	C. Daremberg, E. Saglio, and E. Pottier (eds.), <i>Dictionnaire des Antiquités Grecques et Romaines</i> , Paris, 1877–1919.
EPCCM	<i>Estudios sobre patrimonio, cultura y ciencia medievales</i>
e-PS	<i>e-Preservation Science</i>
ERAE	L. García Iglesias, <i>Epigrafía romana de Augusta Emerita</i> , tesis doctoral inédita, Universidad Complutense de Madrid, 1973.
ETF2.HA	<i>Espacio, Tiempo y Forma, Serie II, Historia Antigua</i>
FOLD&R	<i>Fasti On Line Documents & Research</i>
Gr.	Greek
GrBd	<i>Great Bundahišn</i>

HAE	<i>Hispania Antiqua Epigraphica</i>
HB	Hebrew Bible
HEp	<i>Hispania Epigraphica</i>
IEJ	<i>Israel Exploration Journal</i>
ILS	H. Dessau, <i>Inscriptiones Latinae Selectae</i> , Berlin, 1892-1916
Index	<i>Index. Quaderni Camerti di Studi Romanistici</i>
IntJFoodSciNutr	<i>International Journal of Food Sciences and Nutrition</i>
IRC III	G. Fabre, M. Mayer, and I. Rodà, <i>Inscriptions romaines de Catalogne</i> , vol. III, Gerone, Paris, 1998
IRCP	J. d'Encarnaçao, <i>Inscrições Romanas do Conventus Pacensis</i> , Coimbra, 1984
J. Agric. Food Chem.	<i>Journal of Agricultural and Food Chemistry</i>
JAS	<i>Journal of Archaeological Science</i>
JAS R	<i>Journal of Archaeological Science: Reports</i>
JAT	<i>Journal of Ancient Topography</i>
JBHM	<i>Jahrbuch des Bernischen Historischen Museums Bern</i>
JBR (T)	<i>Journal of Biological Research (Thessaloniki)</i>
JESHO	<i>Journal of the Economic and Social History of the Orient</i>
JNES	<i>Journal of Near Eastern Studies</i>
JRA	<i>Journal of Roman Archaeology</i>
JRGZM	<i>Jahrbuch Römisch–Germanisches Zentralmuseum Mainz</i>
JRS	<i>Journal of Roman Studies</i>
Kosmos	M. L. Nosch and R. Laffineur (eds.), <i>Kosmos. Jewellery, adornment and Textiles in the Aegean Bronze Age. Proceedings of the 13th International Aegean Conference / 13e Rencontre égéenne internationale, University of Copenhagen, Danish National Research Foundation's Centre for Textile Research, 21-26 April 2010</i> , Leuven, 2012
Labeo	<i>Labeo. Rassegna di Diritto Romano</i>
Lana	P. Basso and M. S. Busana (eds.), <i>La lana nella Cisalpina romana: economia e società. Studi in onore di Stefania Pesavento Mattioli</i> , Padua, 2012
LSJ	H. G. Liddell, R. Scott, H. S. Jones, and R. McKenzie, <i>A Greek–English Lexicon</i> , Oxford, 1996
MAA	<i>Mediterranean Archaeology and Archaeometry</i>
MAGW	<i>Mitteilungen der Anthropologischen Gesellschaft in Wien</i>
MEFRA	<i>Mélanges de l'École Française de Rome, Antiquité</i>
MM	<i>Madrider Mitteilungen</i>
M.N.A.R.	Museo Nacional de Arte Romano, Mérida.
MU	Manockji Unvala [New Persian Rivāyat]
MX	<i>Mēnōg ī xrad</i>
NAH	<i>Noticuario Arqueológico Hispánico</i>
NESAT V	G. Jaacks and K. Tidow (eds.), <i>Archäologische Textfunde-Archaeological Textiles. Textilsymposium Neumünster 4.-7.5.1993. NESAT V</i> , Neumünster, 1994
NESAT VII	F. Pritchard and J.-P. Wild (eds.), <i>Northern archaeological textiles. NESAT VII. Textile symposium in Edinburgh, 5th-7th May 1999</i> , Oxford, 2005.
NESAT X	E. Andersson Strand, M. Gleba, U. Mannering, C. Munkholt, and M. Ringgaard (eds.), <i>North European Symposium for Archaeological Textiles X</i> , Oxford, 2010
NESAT XI	J. Banck-Burgess and C. Nübold (eds.), <i>NESAT XI: the North European Symposium for Archaeological Textiles XI. 10-13 May 2011 in Esslingen am Neckar</i> , Rahden, 2013
NESAT XII	K. Grömer and F. Pritchard (eds.), <i>Aspects of the Design, Production and Use of Textiles and Clothing from the Bronze Age to the Early Modern Era. NESAT XII</i> , Budapest, 2015
NiSG	<i>Nippon Silk Gakkaishi</i>
NP.	New Persian
NSc	<i>Notizie degli Scavi di Antichità</i>
OJA	<i>Oxford Journal of Archaeology</i>
Pais	E. Pais, <i>Corporis inscriptionum Latinarum supplementa Italica</i> , Roma, 1884
Pecus	B. Santillo Frizell (ed.), <i>Pecus. Man and Animal in Antiquity</i> , Rome, 2004
Philos. T. Roy. Soc.	<i>Philosophical Transactions of the Royal Society</i>
Phl.	Pahlavi
PIr.	Proto-Iranian
PP	<i>La Parola del Passato</i>
PPM	G. Pugliese Carratelli, <i>Pompei: pitture e mosaici</i> , Rome, 1990–2003
PRDd	<i>Pahlavi Rivāyat accompanying the Dādestān ī dēnīg</i>
PS.	<i>Iulii Paulli Sententiarum ad filium</i>

PV I	C. Alfaro, J. P. Wild, and B. Costa (eds.), <i>Purpureae Vestes, Actas del I Symposium Internacional sobre Textiles y Tintes del Mediterráneo en época romana</i> (Ibiza, 8 al 10 de noviembre, 2002), <i>Purpureae Vestes I</i> , Valencia, 2004
PV II	C. Alfaro and L. Karali (eds.), <i>Vestidos, textiles y tintes Estudios sobre la producción de bienes de consumo en la Antigüedad</i> (Atenas, 24 al 26 de noviembre, 2005), <i>Purpureae Vestes II</i> , Valencia, 2008
PV III	C. Alfaro, J. P. Brun, Ph. Borgard, and R. Pierobon Benoit (eds.), <i>Textiles y tintes en la ciudad antigua</i> (Nápoles, 13 al 15 de noviembre, 2008), <i>Purpureae Vestes III</i> , Valencia and Naples, 2011
PV IV	C. Alfaro, M. Tellenbach, and J. Ortiz (eds.), <i>Production and Trade of Textiles and Dyes in the Roman Empire and Neighbouring Regions</i> (Valencia, 5 al 6 de noviembre, 2010), <i>Purpureae Vestes IV</i> , Valencia, 2014
QSAP	<i>Quaderni della Soprintendenza Archeologica del Piemonte</i>
QBM	<i>Quaderni della Bassa Modenese</i>
RĀF	<i>Rivāyat of Ādurfarrbay ī Farroxzādān</i>
RĒA	<i>Rivāyat ī Ēmēd ī Ašwahištān</i>
RendLinc	<i>Atti della Accademia Nazionale del Lincei. Rendiconti</i>
RevArch	<i>Revue Archéologique</i>
RIDA	<i>Revue Internationale des Droits de l'Antiquité</i>
RivStPomp	<i>Rivista di Studi Pompeiani</i>
RivStOr	<i>Rivista di Studi Orientali</i>
RTChPB	<i>Recueil des travaux chimiques des Pays-Bas</i>
SdN	<i>Saddar Nasr</i>
SH.HM	<i>Studia historica. Historia medieval</i>
Šnš	<i>Šāyist nē šāyist</i>
Sov. Arch.	<i>Sovetskaya Archeologiya</i>
<i>Textiles in Europe</i>	M. Gleba and U. Mannering (eds.), <i>Textiles and Textile Production in Europe from Prehistory to AD 400</i> , Oxford and Oakville, 2012
TLL	<i>Thesaurus linguae latinae</i>
Toch.	Tocharian
TP	<i>Trabajos de Prehistoria</i>
V	<i>Vīdēvdād</i>
Ved.	Vedic
VN	<i>Vaēṭā Nask</i>
VVOHT Bulletin	<i>Vlaamse Vereniging voor oud en hedendaags Textiel Bulletin</i>
Yt	<i>Yašt</i>
WZ	<i>Wizīdagīhā ī Zadsprām</i>

ENVELOPPÉS DANS DU TISSU. LE TOMBEAU DE VITRASIA CANTHARA, STATIUS OBINIUS HERMIA ET STATIUS OBINIUS PRIMUS (CUMES – CAMPANIE, DEUXIÈME MOITIÉ DU 1^{er} SIÈCLE AV. J.-C.)

Jean-Pierre Brun, Priscilla Munzi,** Giuseppe Camodeca,***
Laëtitia Cavassa,**** Henri Duday,***** Fabienne Médard******

Résumé : En 2005, lors de la fouille d'un monument funéraire, situé au nord de la Porte Médiane des fortifications septentrionales de la ville de Cumes, des restes de tissus ont été mis au jour. Ce petit tombeau - MSL37024 - comportait une chambre hypogée renfermant trois urnes cinéraires. Sous le fronton, l'inscription gravée sur un bloc de tuf gris mentionne le nom de trois affranchis. L'ensemble des données permet de dater le contexte de la deuxième moitié du I^{er} siècle av. J.-C. Le tissu pourrait correspondre à un linge ou un sac contenant les os brûlés des défunts.

Mots-clés : Cumes, monument funéraire, urnes cinéraires, inscription, affranchis, tissu linge/sac.

Resumen : En 2005, durante la excavación de un monumento funerario, situado al norte de la Puerta Mediana de las fortificaciones septentrionales de la ciudad de Cumas, fueron encontrados unos restos de tejidos. Esta pequeña tumba - MSL37024 - ofreció una cámara hipogea que contenía tres urnas cinerarias. Bajo el frontón, la inscripción grabada sobre un bloque de tufa gris se menciona los nombres de tres libertos. El conjunto de los datos permite datar el contexto en la segunda mitad del siglo I a.C. El tejido pudo corresponder a una tela o un saco que contenía los huesos quemados de los difuntos.

Introduction

CUMES, que Strabon (V, 4, 4-5) présente comme la plus ancienne colonie grecque d'Occident, est située à 25 km à l'Ouest de Naples, sur la côte de la Mer Tyrrhénienne, en face de l'île d'Ischia (Fig. 1). En 421 av. J.-C. les populations osco-samnites, descendues du Samnium vers la riche plaine campanienne, prennent Cumes. Pendant le conflit entre les Romains et les Samnites pour la possession de la Cam-

panie, Cumes est alliée avec Rome. En 334 av. J.-C. la cité obtient la *civitas sine suffragio*, en 318 elle est soumise à la juridiction de la *Praefectura Capuam Cumas*. En 90 av. J.-C., durant la Guerre Sociale, les Cumains deviennent *Cives Romani* sur la base de la *lex Iulia*. La ville connaît ensuite un brillant développement durant le Haut Empire romain, puis une certaine stagnation durant l'Antiquité tardive avant de devenir au milieu du VI^e siècle de notre ère, l'enjeu de batailles entre les Goths et l'Empire d'Orient.

* Collège de France, Paris.

** Centre Jean Bérard (USR 3133, CNRS - EfR), Naples.

*** Università degli Studi di Napoli "L'Orientale". Dipartimento di Africa, Asia e Mediterraneo.

**** Aix Marseille Univ, CNRS, MCC, Centre Camille Julian, F-13000, Aix-en-Provence, France.

***** Directeur de recherche émérite au CNRS, UMR 5199 PACA (Paléanthropologie biologique et archéothanatologie), Université de Bordeaux.

***** ANATEX, Laboratoire d'Analyse des Textiles Anciens, France, Haut-Rhin / UMR 7044, Strasbourg.



Fig. 1. Vue aérienne du site de Cumès (© CJB, CNRS-EfR).

Le site, une plaine côtière délimitée à l'Est par une colline orientée nord-sud, le Monte Grillo, est dominé par un dôme volcanique de 80 m de haut servant d'acropole. La plaine est bordée par un cordon dunaire orienté nord-sud formé par les apports sédimentaires du fleuve Volturne créant deux lacs : au Nord, celui de Licola, aujourd'hui bonifié, et au Sud, celui de Fusaro.

Dès les débuts de la colonie, les premières phases des remparts témoignent d'une importante extension de la cité couvrant environ 110 hectares entre le Monte Grillo à l'Est et le rivage à l'Ouest.

Cumès a fait l'objet de fouilles discontinues à partir du XVII^e siècle. Au début des années 1990, la Surintendance archéologique de Naples a décidé de lancer un programme de recherche sur le site. Au-delà d'une meilleure connaissance scientifique, il s'agissait d'en déterminer l'extension afin d'exproprier les terrains archéologiques et de créer un grand parc archéologique ouvert au public.

Les travaux du Centre Jean Bérard se sont concentrés sur la partie nord de la ville, au-delà des remparts, au niveau d'une porte située au milieu du front septentrional de la fortification de la ville basse. L'enquête sur ces secteurs périphériques a permis l'étude de la nécropole romaine et des structures datant de l'Antiquité Tardive et du premier Moyen Âge.

1. La nécropole de la Porte Médiane de Cumès et les tombeaux sur le côté oriental de la voie nord-sud

Les fouilles anciennes et récentes ont démontré que, dès la fondation de la colonie, les nécropoles

s'étendaient en direction du nord sur une longueur de plusieurs kilomètres entre le lac de Licola et la colline du Monte Grillo. De la Porte Médiane sortait, dès l'époque archaïque, un axe orienté nord-sud qui, en longeant les marges orientales du lac de Licola, reliait Cumès à Capoue. À la fin de la République, l'espace situé devant le rempart perd sa fonction militaire. Le fossé devant les fortifications est comblé et deux nouvelles voies sont aménagées : l'une se dirigeait vers l'ouest en longeant les remparts, tandis que la deuxième filait vers l'est pour rejoindre l'axe qui, sortant de la Porte Orientale, longeait le Monte Grillo. Sous le règne d'Auguste, la Porte Médiane ouvrait donc sur un carrefour distribuant trois voies, chacune bordée de monuments funéraires. Lors des fouilles effectuées entre 2001 et 2014, de nombreux mausolées et enclos funéraires, ainsi que des tombes plus modestes, datables entre le II^e siècle avant J.-C. et le début du III^e siècle après J.-C. ont été dégagés.

Le secteur concerné par la tombe de Vitrasia se situe à 100 m au Nord de la Porte Médiane, sur le côté oriental de la voie nord-sud. Dans la deuxième moitié du I^{er} siècle av. J.-C., des édifices monumentaux appartenant à des personnages de haut rang sont érigés le long de la voie. Dans un premier temps, un monument de grande ampleur est édifié (MSL34021). Il est surmonté d'un dé de maçonnerie plein, aux angles formés de chaînages de tuiles. Ce second niveau était couronné par un troisième, aujourd'hui disparu. La chambre semi-enterrée, comme dans les monuments antérieurs, n'abrite que deux sépultures. Bien qu'elle ait été pillée, il a été possible de retrouver, grâce au tamisage des sédiments, des fils d'or témoignant de la splendeur des vêtements des défunts. L'extérieur du mausolée était revêtu d'un épais enduit blanc ou rouge dessinant des moulures et ménageant la place pour une grande inscription aujourd'hui disparue.

Au cours de la même phase sont associées aux grands monuments des sépultures plus modestes, toujours « à cippe » ou à « massif maçonné » appartenant à des esclaves ou à des affranchis de grandes familles cumaines, celles des *Heii*, des *Lucei Balbi*, des *Vitrasii*.¹

2. Le tombeau de *Vitrasia Canthara*, *Staius Obinius Hermia* et *Staius Obinius Primus* (MSL37024)²

Au cours de la deuxième moitié du I^{er} siècle av. J.-C. sur le côté oriental de l'axe nord-sud, là où un siècle plus tard sera construit le mausolée

¹ Sur ces monuments, voir Brun et Munzi 2009, 229-247.

² Botte et Cavassa 2008, 400-401.

MSL57008, est édifié un petit monument funéraire de type à « massif maçonné » (Fig. 2). Il s'agit d'un petit tombeau - MSL37024 - à plan presque carré et toit à double pente, appartenant à trois affranchis.

2.1. Le tombeau (Fig. 3)

Légèrement décalé par rapport à l'axe de la voie, le monument se présente comme un cube plein, construit en *opus caementicium* et revêtu, dans sa partie visible, d'un enduit blanc.³ Il est surmonté d'un toit à double pente en béton de tuileau couvert d'un enduit rouge. Sur la face occidentale qui donne sur la voie, sous le fronton, est encastrée une inscription taillée dans un bloc de tuf gris.⁴

La partie supérieure de plan carré, qui prend la forme d'un petit temple, couvre une petite chambre funéraire souterraine aménagée dans les fondations. Cet espace hypogée, découvert intact, était scellé par une dalle de tuf de 1,10 m de haut. Par conséquent aucune intrusion anthropique ou naturelle n'est venue perturber le contexte. Également de plan presque carré, la chambre funéraire abritait trois urnes cinéraires en céramique commune.⁵

Le tombeau correspond à un type de monument funéraire assez simple, bien répandu à Cumès, pour l'instant sans parallèle dans les contextes voisins ou plus généralement dans le monde romain. Cette architecture funéraire accueille les restes des corps brûlés d'esclaves et d'affranchis des grandes familles de la région.

2.2. L'inscription et les individus enterrés dans le tombeau

L'inscription, gravée sur un bloc de tuf gris (ignimbrite campanienne, faciès gris), mesure 48 à 49,6 de largeur pour une hauteur d'environ 22 à 23 cm. Le texte est le suivant :

*Vitrasia (mulieris) l(iberta) Canthara
St(atius) Obinius St(atii) l(ibertus) Hermia
St(atius) Obinius St(atii) l(ibertus) Primus
Offa*

Il concerne trois *liberti* : *Vitrasia Canthara*, affranchie d'une femme, qui semble être le personnage principal à en juger par la mise en page du texte épigraphique, et *St(atius) Obinius Hermia* et *St(atius) Obinius Primus*, tous deux *liberti* d'un *Statius*.



Fig. 2. Le tombeau de *Vitrasia Canthara* MSL37024 (© CJB, CNRS-EfR).



Fig. 3. Le tombeau de *Vitrasia Canthara* MSL37024 (© CJB, CNRS-EfR).

graphique, et *St(atius) Obinius Hermia* et *St(atius) Obinius Primus*, tous deux *liberti* d'un *Statius*.

Le gentilice *Vitrasius*, rarissime dans toute l'Italie, est bien documenté seulement à Cales, où les *Vitrasii*⁶ étaient au cours de la première époque impé-

³ Dimensions du monument : h. tot. 2,50 m ; larg. 1,20 m ; prof. max. 1,15 m.

⁴ La partie visible du petit tombeau mesure : h. 1,50 m ; larg. 1,20 m ; prof. 1,05 m.

⁵ Dimensions de la *cella* : 0,75 x 0,80 m.

⁶ À partir au moins de l'époque de Trajan ils atteignent le rang sénatorial. Sur les *Vitrasii* : Camodeca 2008, 137-148; sur une nouvelle inscription : Camodeca 2013, 51-52.



Fig. 4. Détail petite chambre funéraire du tombeau de *Vitrasia Canthara* MSL37024 (© CJB, CNRS-EFR).

riale une famille équestre et dont est connu *C. Vitrasius C. f. Pob. Pollio, procurator* de Tibère (CIL X, 3871), qui, *IIIvir* dans son municpe, parcourut une brillante carrière équestre culminant dans la prestigieuse *praefectura Aegypti* en 38-41 ap. J.-C.⁷ Les *Vitrasii* sont également attestés, bien que rarement, dans la région phlégéenne entre l'époque tardo-républicaine (à *Cumae* un *C. Vitrasius*)⁸ et l'époque julio-claudienne (à *Puteoli*, *TPSulp.* 9: *C. Vitrasius Maurus*).⁹ *Canthara* est le féminin d'un *cognomen* d'origine grecque ; *Cantharus*, est rarissime.¹⁰ Cet exemple cumain au féminin n'a pas à ce jour de parallèles dans la documentation épigraphique; toutefois il est utilisé comme nom d'*ancillae* dans les comédies de Plaute (*Epid.* 567) et de Térence (*Andria* 769).

Les deux *liberti* d'un *St(atius) Obinius*, qui portent comme leur patron un prénom osque bien connu,¹¹ ont l'un et l'autre des *cognomina* courants (*Hermia* et *Primus*). Les *Obinii*, en général plutôt rares, sont bien présents dans le Latium ; alors qu'en Campanie ils apparaissent jusqu'ici seulement à Capoue avec un *C. Obinius Cn. f., lanio*, parmi les *magistri* de 104 av. J.-C.¹²

Dans la dernière ligne, sur la base d'un examen attentif, la lecture OFFA est certaine.¹³ Malheureusement, le terme *Offa* pose des difficultés d'interprétation. *Offa*, comme on LE sait, signifie fougasse d'épeautre, ancienne bouillie (*puls*) utilisée aussi dans les rites sacrés, et, en général bouchée de nourriture;¹⁴ on pourrait donc penser avant tout à un second cognomen de *St. Obinius Primus*, même si en tant que tel *Offa* n'est pas encore attesté, sauf peut-être dans une inscription funéraire capouane de tradition manuscrite (CIL X, 4732).¹⁵ En conclusion, si la lecture de ligne 4 est maintenant sûre, son interprétation reste incertaine, bien que l'hypothèse la plus probable semble être celle d'un second *cognomen*.

L'inscription peut être datée dans la deuxième moitié du I^{er} siècle av. J.-C., plus probablement pour les caractéristiques paléographiques entre 50 et 20 av. J.-C.

2.3. Les vases-ossuaires (Fig. 4)

Les trois vases-ossuaires appartiennent au même type.¹⁶ Il s'agit de marmites de la forme Di Giovanni 2323a, caractérisée par un profil globulaire, un fond arrondi, une lèvre légèrement tombante et dotée d'une petite gorge interne destinée à recevoir un couvercle ; deux anses cannelées s'attachant sur la lèvre et en haut de la panse. Cette forme de *caccabus* est attestée du I^{er} siècle av. J.-C. au I^{er} siècle de notre ère. Ces récipients ont également souvent servi d'urnes cinéraires;¹⁷ nombreuses sont les attestations dans la nécropole romaine de Cumes. La forme de ces vases et la largeur de l'embouchure permettent d'introduire les os brûlés, de verser des libations et d'y déposer de petites offrandes.

Les trois urnes étaient fermées par trois couvercles de même type, scellés à la chaux ou au plâtre. Ils sont en céramique commune italique et appartiennent au type Di Giovanni 2421b, caractérisé par un bord à marli et un pied annulaire peu marqué. Ce type

⁷ *Stemma* de la famille in Camodeca 2008, 148.

⁸ CIL X, 8214 = I², 3124.

⁹ Camodeca 1999.

¹⁰ Pline, *Nat. Hist.* 34, 85, un sculpteur grec ; CIL VI, 32627, un prétorien du III^e siècle.

¹¹ Sur celui-ci voir en dernier Salomies 2008, 34-35.

¹² CIL X, 3780 = I², 679 = ILLRP 716. Dans la région vésuvienne sont attestés trois exemplaires de *dolia* produits par *Sex. Obinius Salvius* (CIL X, 8047, 12 ; *Stabia* nr. 64).

¹³ L'autopsie exclut définitivement la possibilité qu'il puisse s'agir d'une abrasion pour correction, comme cela pourrait sembler à partir de la photo. Au lieu de cela il s'est produit un détachement d'un éclat de tuf de la surface en pierre, écaillage qui s'étend bien au-delà de la partie inscrite jusqu'à la marge inférieure de la plaque.

¹⁴ Cfr. Paul. ex Fest. p. 242 M.; Varr., *re rust.* 3, 5 ; Verg., *Aen.* VI 420 ; Cic., *de divin.* 2, 73 ; *Ennius* dans Pline, *Nat. Hist.* 18, 84 ; Plaut., *Miles* 760 : *auffer illam offam porcinam*.

¹⁵ Malheureusement elle est perdue, mais la correction en *ossa* n'est pas adoptée par Mommsen.

¹⁶ 1. H. 31 cm ; diam. b. 26 cm ; diam. max. 33 cm ; 2. H. 29 cm ; diam. b. 25 cm ; diam. max. 30,5 cm ; 3. H. 23,5 cm ; diam. b. 23,5 cm ; diam. max. 31 cm.

¹⁷ Di Giovanni 1996, 95.

de couvercle, généralement appelé « plat-couvercle », est courant dans la batterie de cuisine de type italique entre le II^e siècle avant J.-C. et la fin du II^e - début du III^e siècle de notre ère.¹⁸

2.4. L'étude anthropologique

Dans la petite chambre hypogée, les trois osseux en céramique commune contenaient les os brûlés des trois individus et quelques restes d'offrandes les ayant accompagnés sur le bûcher. Les trois urnes découvertes à l'intérieur de la petite chambre funéraire étaient parfaitement scellées, de sorte que le remplissage était dépourvu de sédiment.¹⁹ Les urnes 37031/SP37043 et 37033/SP37045 étaient contre la paroi droite, la première près de l'entrée, la seconde au fond, alors que l'urne 37032/SP37044 était à mi-longueur de la paroi gauche, basculée vers le fond. Il s'agit de sépultures secondaires à crémation, pour lesquelles l'emplacement du (ou des) bûcher(s) n'est pas connu.

L'urne 37031/SP37043 était remplie environ à moitié par le dépôt d'os brûlés qui se rapportent à un seul et même individu, un adulte jeune d'environ 30 ans, de sexe masculin (grande incisive ischiatique de l'os coxal droit très étroite, angle sous-pubien manifestement très fermé). La crémation est dans l'ensemble peu poussée et assez hétérogène (os pour la plupart de couleur grise, parfois gris sombre, rarement gris clair ou blanc). Quatre fragments d'os travaillé (tabletterie) brûlés ont été isolés. Il y avait également plusieurs fragments de terre rubéfiée (passes R3, R4, R5 et R6) et quelques charbons de bois (passes R2, R3, R4, R5 et R6).

La masse totale des os humains brûlés est très élevée (1814,1 g), le taux de détermination est bon (89,9 %) en raison d'une fragmentation très faible (le poids moyen des fragments sauf esquilles est extrêmement élevé, de 2,10 g). Il semble que la collecte des fragments osseux brûlés sur l'aire de crémation ait été presque exhaustive ; de ce fait, les régions anatomiques sont représentées d'une manière parfaitement équilibrée, avec des indices pondéraux conformes aux valeurs de référence : 17,2 pour la tête, 14,9 pour le tronc, 15,2 pour les membres supérieurs et 41,7 pour les membres inférieurs (pour des valeurs théoriques de 20,4, 17,0, 17,6 et 45,0, les lé-

gers déficits observés pouvant aisément être compensés par les vestiges indéterminés).

Le poids moyen des fragments (à l'exclusion des esquilles) est extrêmement élevé pour la première passe (R1, 4,24 g), la courbe s'abaisse sensiblement pour marquer un plateau dans les trois passes suivantes (respectivement 3,00 g, 3,08 g et 2,99 g pour R2, R3 et R4), puis il diminue à nouveau en R5 (2,00 g) et s'effondre jusqu'à une valeur très faible au fond de l'urne (R6, 0,29 g). À l'inverse, la part que représentent les esquilles croît de manière très significative dans la dernière passe : le rapport de la masse des esquilles à la masse totale des fragments osseux pour le relevé considéré varie entre 0,0 % et 1,7 % entre R1 et R5, alors qu'il est de 55,8 % pour R6. L'aspect exponentiel des courbes constitue la caractéristique spécifique des histogrammes du type « 1 exagéré » défini à l'occasion de l'étude de la nécropole de la Porta Nocera à Pompéi.²⁰ L'interprétation qui en a été donnée est la suivante : la collecte des restes brûlés du défunt est très poussée, elle concerne d'abord les fragments les plus volumineux et s'achève par le ramassage de fragments beaucoup plus petits. Au fur et à mesure, les restes osseux sont placés dans un récipient en tissu (sac ou linge replié) qui est ensuite placé à l'envers à l'intérieur de l'urne. Les fragments les plus gros se trouvent donc au sommet et les fragments les plus petits au fond. Par la suite, les éléments de petite taille, et tout particulièrement les esquilles, auront tendance à percoler au travers de l'amas osseux aéré, leur accumulation au fond de l'urne ayant pour effet de diminuer encore la valeur du poids moyen pour les passes inférieures alors qu'il ne reste plus que les plus gros fragments dans la passe supérieure.

Des fragments de tissu ont été repérés, consolidés²¹ et prélevés à la surface du dépôt osseux dans l'urne. Par ailleurs, l'empreinte d'un tissu contre la paroi interne de l'urne est visible juste au-dessus du fond, au niveau de la dernière passe de démontage.

L'urne 37032/SP37044 était presque entièrement remplie par les os brûlés qui se rapportent ici encore à un seul sujet, un adulte robuste. Il est toutefois difficile de déterminer avec plus de précision l'âge au décès car ce sujet présente de nombreuses lésions pathologiques d'origine non dégénérative (spondylarthrite ankylosante dans un contexte de fluorose

¹⁸ Di Giovanni 1996, 97.

¹⁹ Leur contenu a été démonté par passes consécutives d'une épaisseur d'environ 2 cm et, pour chaque décapage, les os brûlés ont été triés en fonction de leur provenance anatomique, selon les protocoles désormais classiques de l'étude anthropologique des sépultures à crémation. La quantification a été faite à la fois par pesée et en nombre de fragments. On sait cependant que le paramètre le plus significatif est la masse (exprimée en grammes). Dans la mesure où les urnes étaient parfaitement scellées, il n'a pas été utile de procéder au nettoyage des fragments avant la pesée.

²⁰ Duday 2013, 861-907. Pour le type « 1 » exagéré, Duday 2013, 888 ss.

²¹ Consolidation *in situ* par imbibition d'acétate de cellulose dilué dans l'acétone.

endémique liée à la composition des eaux de source volcaniques²²), donc non corrélées au vieillissement. La morphologie des os coxaux (grande incisure ischiatique, pubis) est absolument caractéristique du sexe masculin. Les os sont parfaitement propres, on note seulement quelques très légers dépôts encroûtés de calcite dans la partie inférieure de l'urne. La crémation semble avoir été relativement poussée (os blancs à gris blanc) avec cependant des zones brûlées de manière moins intense (os gris ou gris bleu).

Le mobilier associé se limite à un fragment de bord d'un *unguentarium* en céramique de type *Dicocer* D1 (en R2) et à quelques éclats de fer (en R8).

La masse totale des restes humains est absolument considérable : elle atteint 3055,1 g, alors que l'on situe généralement la limite supérieure de la masse des os brûlés pour une sépulture individuelle à environ 2400 g. Il ne fait pourtant aucun doute qu'il s'agit bien d'un individu unique ; le taux de détermination est en effet exceptionnellement haut (98,9 %) en raison d'une fragmentation très faible (le poids moyen des fragments sauf esquilles est lui aussi exceptionnellement élevé, de 9,04 g), et il n'y a aucun doublet, aucune incompatibilité entre les fragments.

Les variations du poids moyen des fragments (à l'exception des esquilles) dessinent une courbe bimodale avec un effondrement de la valeur en R7 (6,48 g) entre deux pics correspondant aux valeurs maximales observées (16,78 g en R6, 13,90 g en R8).²³ À la Porta Nocera, cet aspect bimodal est très probablement lié au fait que lors de la collecte sur l'aire de crémation, les os brûlés ont été placés dans deux réceptacles en tissu (ici encore des sacs ou des linges pliés) qui avaient ensuite été placés l'un au-dessus de l'autre dans l'urne.²⁴

C'est bien cette explication qui semble devoir être retenue ici. Des restes de tissu ont en effet été recueillis en R8 (notamment sur la lame quadrilatère de l'os coxal gauche), donc à distance des parois et du fond de l'urne, et en R9, au fond de l'urne.

L'urne 37033/SP37045 était elle aussi parfaitement scellée, elle était remplie environ aux deux tiers. Les fragments osseux brûlés appartiennent à un sujet adulte relativement âgé. La morphologie des os coxaux est indiscutablement féminine (grande incisure ischiatiques très large, angle sous-pubien très ouvert). Les os montrent dans l'ensemble les indices d'une crémation relativement poussée (os d'un blanc

crayeux ou gris blanc, fissurations des diaphyses en « ondes concentriques »).

Un clou en fer se trouvait parmi les os (en R3). Il y avait également des fragments d'une lampe à huile non identifiable (3 en R6 et 1 en R4) et des charbons de bois (en R1 et en R2).

La masse totale des os brûlés est très basse (965,6 g), le taux de détermination est très satisfaisant (92,8 %) en raison d'une fragmentation très faible (le poids moyen des fragments sauf esquilles s'élève à 2,38 g, valeur qui peut sembler basse si l'on se réfère à l'urne précédente, mais qui est extrêmement forte par rapport aux valeurs que l'on rencontre habituellement dans les sépultures à crémation).

Les variations verticales du poids moyen sauf esquilles s'organisent selon une courbe d'un type très inhabituel. Contrairement à ce que l'on observe généralement, il n'y a pas ici d'abaissement du poids moyen à la partie inférieure du dépôt, tout au contraire puisque les valeurs maximales sont enregistrées pour R5 (3,26 g) et R6 (3,23 g). À la Porta Nocera, les histogrammes de ce type ("type 3") sont en relation avec des dépôts pour lesquels il n'y a pas eu de collecte manuelle des os brûlés ; ceux-ci ont été directement récupérés par le curage de l'aire de crémation, ils sont donc intimement mêlés à des cendres et des charbons à l'intérieur du réceptacle funéraire. La percolation verticale des fragments les plus petits n'est donc pas possible puisqu'il n'y a pas d'espaces vides entre les vestiges osseux. Cette explication ne saurait être retenue ici, d'abord et avant tout parce qu'il n'y avait pas de cendres dans l'urne, tout au plus quelques petits charbons de bois. En fait, il y a au fond de l'urne d'énormes fragments (l'os coxal droit presque complet et la moitié proximale du fémur droit en R5, de très gros morceaux du crâne en R6) dont la masse masque totalement l'incidence que pourraient avoir les esquilles. Celles-ci sont en outre très rares dans l'urne (elles représentent à peine 2,1 % de la masse totale).

On note par ailleurs des poids moyens relativement faibles au sommet du remplissage (1,76 g en R1, 1,51 g en R2). Cette particularité (qui signe habituellement les histogrammes "de type 2") indique qu'après avoir débuté par les morceaux les plus volumineux, la collecte s'est achevée par la récupération de fragments plus petits. Il est possible que les os aient été directement déposés dans

²² Plusieurs sépultures de la nécropole romaine de Cumes ont livré des sépultures secondaires individuelles à crémation dont la masse dépasse 3000 g. Elles se caractérisent toutes par un processus diffus d'hyperostose et par une élévation significative de l'indice pondéral du tronc.

²³ La courbe évoque même une distribution trimodale, avec une valeur du poids moyen sauf esquilles abaissée pour R3 (6,41 g). Les valeurs qui l'encadrent sont cependant moins élevées que pour R6 et R8 (8,03 g pour R2, 11,89 g pour R4) de sorte que le contraste est moins flagrant et donc peut-être moins significatif.

²⁴ Duday 2013, 893-894.



Fig. 5. Tombeau MSL37024, Sépulture SP37043. Vue zénithale de l'urne 37031 et détail des restes osseux (37043/01, en R2) mêlés de fragments de tissu (clichés : CJB, USR 3133 CNRS-EfR).



Fig. 6. Tombeau MSL37024, Sépulture SP37044. Vues zénithales de l'urne 37032 fermée et ouverte (clichés : CJB, USR 3133 CNRS-EfR).



Fig. 7. Tombeau MSL37024, Sépulture SP37044. Fragment 3 (37044/01, en R8) : fils creux, vides de matière organique, dont le volume est resté intact (cliché : F. Médard / Anatex).

l'urne au fur et à mesure de leur ramassage, ou bien qu'ils aient été placés dans un contenant intermédiaire (sac ?) qui aurait été ensuite mis "à l'endroit" dans l'urne.

Quoi qu'il en soit, le démontage soigneux des restes osseux brûlés n'a livré aucun vestige de tissu, et aucune trace de textile n'a été observée sur la paroi.

3. Les restes de tissus

3.1. Description

Les tissus ont été prélevés parmi le contenu des urnes 37031 et 37032 et sont répertoriés sous un numéro d'inventaire commun à l'ensemble des vestiges rassemblés dans chaque urne :

- Urne 37031, os, céramique et tissus 37043/01 (Fig. 5), en deuxième passe (en R2).

- Urne 37032, os, céramique et tissus 37044/01 (Fig. 6), en huitième passe (en R8).

Ils sont datés de l'époque tardo-républicaine sur la base de la typologie du monument, des vases-osuaires et des restes d'offrandes et par la paléographie des inscriptions relevées sur le tombeau.

De couleur blanchâtre, les restes textiles sont recouverts d'une couche pulvérulente issue de la transformation chimique des matériaux provoquée par des micro-conditions environnementales ; il s'agit d'une forme de minéralisation. Pour les mêmes raisons, leur couleur très claire ne correspond pas à la teinte originale de l'étoffe.

Rigides, friables et cassants, ils tombent en poussière au moindre mouvement, expliquant la petite dimension des vestiges et le nombre élevé des éléments. Des cassures localisées en bordure de fragments révèlent la composition interne des fils qui les constituent. La matière organique a totalement disparu ; ne subsistent que des coques vides épousant le détail des reliefs (Fig. 7).



Fig. 8. Tombeau MSL37024, Sépulture SP37043 : 37043/01, en R2. Restes textiles composant le lot d'étude (cliché : F. Médard / Anatex).

N° fragment	Dimensions en mm	N° fragment	Dimensions en mm
1	15x8	10	5x3
2	15x14	11	8x2
3	6x5	12	12x5
4	10x5	13	11x2
5	6x2	14	10x8
6	5x5	15	10x6
7	8x5	16	5x1
8	25x9	17	fragments
9	8x2		

Tab. 1. Tombeau MSL37024, Sépulture SP37043 : 37043/01, en R2. Dimension des fragments recueillis.

3.2. Les restes textiles contenus dans l'urne cinéraire 37031, tissu 37043/01

Ils se présentent sous la forme de 17 fragments aux dimensions variables (Fig. 8 ; Tab. 1).

3.2.1. Analyse technique

3.2.1.1. Orientation

Orienter un tissu consiste à déterminer le sens dans lequel sont placés les fils de chaîne et de trame. Cela permet d'appréhender le sens de fabrication de l'ouvrage. En l'absence d'indice déterminant (ondulation des fils, présence de bordures et/ou de lisières, etc.), l'orientation des fils est notée OY et OX. En l'occurrence, seule l'ondulation des fils plus marquée dans un sens que dans l'autre permet d'identifier le sens chaîne.

3.2.1.2. Fils

Les fils, mesurés sur plusieurs fragments afin d'obtenir une moyenne représentative de l'ensemble, sont caractérisés comme suit (voir Tab. 2) :

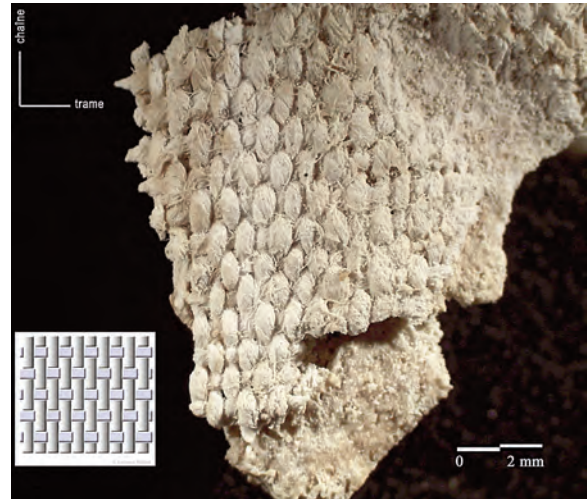


Fig. 9. Tombeau MSL37024, Sépulture SP37043 : 37043/01, en R2. Fragment 2, avers. Orientation du tissu et armure de tissage (cliché et dessin : F. Médard / Anatex).

Chaîne (OY) : fils simples de torsion S mesurant environ 0,4-0,5 mm de diamètre.

Trame (OX) : fils simples de torsion S mesurant environ 0,4-0,5 mm de diamètre.

3.2.2. Réduction

La réduction désigne le nombre de fils disposés côte à côte, en chaîne et en trame, pour un cm de tissage. On parle également de contexture. On procède pour la réduction comme avec les fils ; elle est calculée à partir de plusieurs fragments (voir Tab. 3) :

Les fils de chaîne sont environ deux fois plus nombreux que les fils de trame. La réduction moyenne est de :

Chaîne (OY) : 25 fils/cm.

Trame (OX) : 14 coups/cm.

3.2.3. Armure de tissage

L'armure désigne le mode d'entrecroisement des fils de chaîne et de trame. Quel que soit le type de métier à tisser utilisé, les fils de trame passent perpendiculairement au dessus et au dessous des fils de chaîne. Le type d'armure varie en fonction du nombre de fils de chaîne pris ou laissés par le fil de trame. Il s'agit ici d'une toile à dominante chaîne (Fig. 9).

3.2.4. Analyse de la matière première

L'identification des matières textiles constitue un axe d'analyse à part entière. Des prélèvements de

	Fragment 1	Fragment 2	Fragment 12	Fragment 14
Diam. Fils de chaîne	0,3-0,4 mm	0,4-0,5 mm	0,4-0,5 mm	0,4 mm
Diam. Fils de trame	0,4-0,7 mm	0,4-0,5 mm	0,4-0,5 mm	0,4 mm

Tab. 2. Tombeau MSL37024, Sépulture SP37043 : 37043/01, en R2. Relevé du diamètre des fils de chaîne et de trame sur plusieurs fragments de tissu.

	Fragment 1	Fragment 2	Fragment 12	Fragment 14
Réduction en chaîne	26 fils / cm	25 fils / cm	20-22 fils / cm	25 fils / cm
Réduction en trame	14 coups / cm	14 coups / cm	14 coups / cm	13 coups / cm

Tab. 3. Tombeau MSL37024, Sépulture SP37043 : 37043/01, en R2. Relevé des réductions en chaîne et en trame sur plusieurs fragments de tissu.

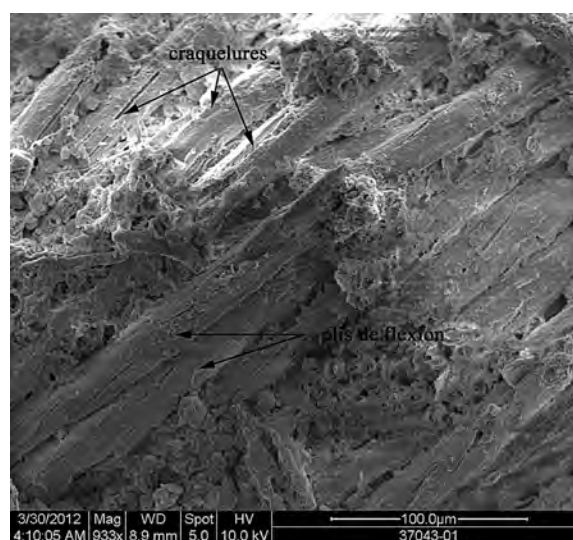


Fig. 10a-b. Tombeau MSL37024, Sépulture SP37043 : 37043/01, en R2. Vue générale d'un fragment de tissu. Vue de détail des fibres témoignant de leur état de dégradation et laissant apercevoir la trace ténue de quelques plis de flexion caractéristiques des matières d'origine végétale (clichés : Stephan Knopf /IS2M/CNRS).

quelques mm² suffisent ; lorsqu'il s'agit de tissus intelligibles, on échantillonne de façon à pouvoir examiner séparément les fils de chaîne et de trame afin de ne pas omettre une éventuelle mixité des matières premières. Les fibres sont observées en vue longitudinale et, lorsque la disposition le permet, en coupe transversale.

Le fragment 10 est ici retenu pour analyse (voir Fig. 8). Comme constaté précédemment, le matériau s'avère pulvérulent en surface, couvert de pollutions faisant obstacle à la lisibilité de l'échantillon.

Les fibres sont préservées en volume mais les surfaces se révèlent être si endommagées que les caractéristiques morphologiques utiles à l'identification des matériaux sont quasiment inexistantes. Elles pré-

sentent des surfaces érodées, marquées de profondes entailles longitudinales. On décèle cependant la présence discrète de plis de flexion fortement arasés ; ils attestent l'origine végétale de la matière première mais rien ne permet de préciser le diagnostic (Fig. 10a-b).

3.3. Les restes textiles contenus dans l'urne cinéraire 37032, tissu 37044/01

Ils se présentent sous la forme de 12 fragments de petites dimensions, certains étant quasiment réduits à l'état de poussières (Fig. 11 ; Tab. 4).



N° fragment	Dimensions en mm	N° fragment	Dimensions en mm
1	7x6	7	8x5
2	17x9	8	7x4
3	8x10	9	6x2
4	12x7	10	9x4
5	9x3	11	5x1,5
6	10x6	12	5x3

Tab. 4. Tombeau MSL37024, Sépulture SP37044 : 37044/01, en R8. Dimension des fragments recueillis.

Fig. 11. Tombeau MSL37024, Sépulture SP37044 : 37044/01, en R8. Restes textiles composant le lot d'étude (cliché : F. Médard / Anatex).

	Fragment 1	Fragment 2	Fragment 3	Fragment 5
Diam. Fils de chaîne	0,4 mm	0,5 mm	0,4-0,5 mm	0,6 mm
Diam. Fils de trame	0,8 mm	0,8-1 mm	0,8 mm	0,8 mm

Tab 5. Tombeau MSL37024, Sépulture SP37044 : 37044/01, en R8. Relevé du diamètre des fils de chaîne et de trame sur plusieurs fragments de tissu.

	Fragment 1	Fragment 2	Fragment 3	Fragment 5
Diam. Fils de chaîne	0,4 mm	0,5 mm	0,4-0,5 mm	0,6 mm
Diam. Fils de trame	0,8 mm	0,8-1 mm	0,8 mm	0,8 mm

Tab. 6. Tombeau MSL37024, Sépulture SP37044 : 37044/01, en R8. Relevé des réductions en chaîne et en trame sur plusieurs fragments de tissu.

3.3.1. Analyse technique

3.3.1.1. Orientation

Le sens de fabrication de l'ouvrage est déterminé en fonction de l'ondulation des fils, plus marquée dans une direction que dans l'autre : il s'agit de la chaîne.

3.3.1.2. Fils

Les fils, mesurés sur plusieurs fragments afin d'obtenir une moyenne représentative de l'ensemble, sont caractérisés comme suit (voir Tab. 5) :

Chaîne (OY) : fils simples de torsion S mesurant environ 0,5 mm de diamètre.

Trame (OX) : fils simples de torsion S mesurant environ 0,8-0,9 mm de diamètre.

La torsion des fils est serrée quelle qu'en soit l'orientation. On notera avec intérêt le choix différencié des fils de chaîne et de trame, puisque ces derniers sont quasiment deux fois plus épais. Cette caractéristique confère à la réalisation, si ce n'est un effet esthétique, au moins une texture de surface particulière. A grande échelle, les fils de trame dessinaient certainement un relief à effet cannelé.

3.3.2. Réduction

Elle est calculée à partir de plusieurs fragments (Tab. 6).

Des variations importantes apparaissent au niveau de la réduction en chaîne. Compte tenu de la dimension des fragments, nous sommes tenus à des estimations qui peuvent expliquer ces écarts. Par ailleurs, un tissu altéré peut présenter des réductions différentes selon les endroits, car les modalités de dépôt stigmatisent des micro-variations ; par exemple, tassée sur elle-même ou tendue, la même pièce ne présentera pas la même réduction. Par conséquent, nous estimons les réductions moyennes à :

Chaîne (OY) : 20-25 fils/cm

Trame (OX) : 12-13 coups/cm

On soulignera ici que la réduction en trame est de deux fois inférieure à celle de la chaîne, tandis que les fils sont deux fois supérieurs en diamètre.

3.3.3. Armure de tissage

Il s'agit d'une toile à dominante chaîne (Fig. 12).

3.3.4. Analyse de la matière première

Le fragment 9 est retenu (voir Fig. 11) en raison de la nette distinction existant entre les fils de chaîne et de trame. Pour vérification, quelques fragments de fils épars sont également recueillis.

Les premières vues confirment l'état de dégradation du matériau observé en macroscopie. Ce qui était pulvérulent en surface des fragments de tissu apparaît comme un véritable obstacle à l'identification de la matière première. Les surfaces sont couvertes de cette matière minérale prégnante, épaisse et irrégulière, qui occulte les caractéristiques morphologiques des fibres.

Par ailleurs, la microscopie montre clairement la disparition totale de la matière organique dont ne subsiste que l'empreinte sous la forme de loges désormais vides. Il est fréquent que ces loges livrent les éléments nécessaires à l'identification des matériaux car elles constituent une empreinte fidèle et détaillée de la surface des fibres minéralisées. Pourtant, il est ici difficile d'isoler des zones suffisamment propres pour être lisibles. Nous parvenons toutefois à repérer des plis de flexion très ténus, mais assez éloquents pour diagnostiquer l'utilisation d'une matière d'origine végétale. Ces plis se retrouvent en plusieurs endroits, tant associés aux fils de chaîne qu'à ceux de trame. Nous sommes donc en présence d'un même matériau, comme il est habituel de l'observer sur les textiles anciens. Une exploration de détail permet encore de déceler la présence d'angles aigus courant le long des fibres ; ce que confirme la morphologie des sections. Cette structure polygonale caractéristique



Fig. 12. Tombeau MSL37024, Sépulture SP37044 : 37044/01, en R8. Fragment 2, avers. Orientation du tissu et armure de tissage (cliché et dessin : F. Médard / Anatex).

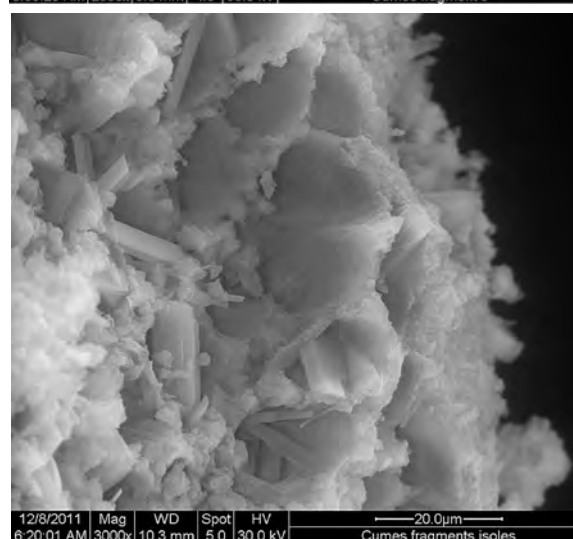
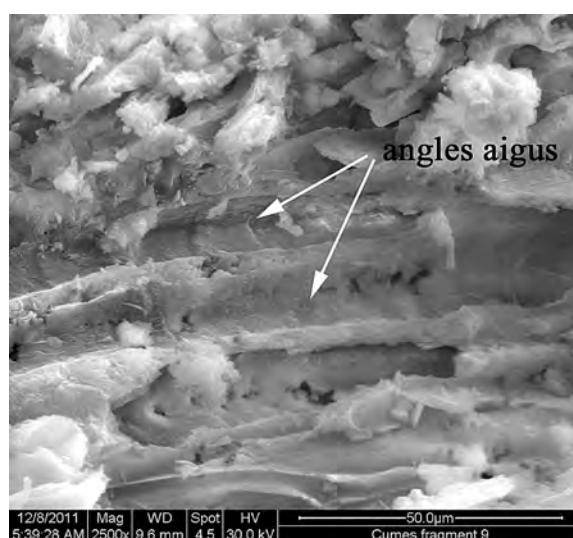


Fig. 13. Tombeau MSL37024, Sépulture SP37044 : 37044/01, en R8. Vues longitudinale et en section laissant apercevoir la structure polygonale caractéristique des fibres de lin (clichés : Stephan Knopf / IS2M/CNRS).

des fibres de lin (*Linum usitatissimum* L.) tend à en attester ici l'utilisation (Fig. 13a-b).

3.4. Discussion

Le tissu 37043/01 est confectionné à partir de fils en matière d'origine végétale, tissés en armure toile à dominante chaîne. Les fils étant identiques dans les deux sens de tissage, la chaîne domine sans conteste sur le plan visuel.

Le tissu 37044/01 est caractérisé par l'utilisation de fils confectionnés à partir de fibres de lin dans les deux sens de tissage. Réalisé sur une base d'armure toile à dominante chaîne, il atteste une sélection différenciée des fils de chaîne et de trame, les seconds étant plus épais que les premiers. Cela génère vraisemblablement un relief à effet de rayures.

Les deux tissus présentent des réductions semblables qui, en dépit du nombre important de fils de chaîne, restent ordinaires comparées à celles des productions de même période. Une autre donnée commune aux deux tissus tient au sens de torsion des fils. Selon J.-P. Wild (1970), les deux principaux centres de production textile de l'Empire, respectivement situés dans les provinces septentrionales et orientales, se distinguent par la production de fils de torsions différentes. La torsion en S est, semble-t-il, caractéristique des territoires orientaux et la torsion Z, des territoires septentrionaux, incluant l'Italie romaine. Selon l'auteur, les fils tordus en S mis au jour au nord de l'Empire (en l'occurrence en Grande-Bretagne) sont liés à des effets particuliers (décors, coutures, etc.). Les tissus réalisés à partir de filés S en chaîne et en trame sont indubitablement de provenance étrangère.²⁵ Peut-on affirmer sur cette seule caractéristique que les filés S des tissus de Cumes signent un produit d'importation ? Sans réfuter cette théorie qui, au vu des données statistiques, paraît plausible, nous souhaitons porter la réflexion dans le domaine technique. Cette dichotomie ne résulte pas uniquement d'un processus identitaire ; elle puise aux sources d'habitudes techniques anciennes, liées aux matériaux travaillés, mais surtout aux modes de filage employés. L'étude de collections textiles importantes montre en effet que les fils de lin sont indifféremment tordus en S ou en Z, tandis que les fils de laine sont presque exclusivement tordus en Z. On file donc plus volontiers en S les fils de lin et en Z les fils de laine.²⁶ Toutefois, et c'est sans doute l'élément le plus solide qui permet

d'expliquer l'origine de torsions différentes, le fuseau suspendu avec fusaïole basse est mis en mouvement à partir de l'extrémité proximale (la plus accessible et la moins encombrée, puisque sans fusaïole) dans le sens des aiguilles d'une montre par 90 % de la population (celle des droitiers). Il en résulte un fil tordu en Z. Le fuseau suspendu avec fusaïole haute se lance par commodité à partir de l'extrémité distale (la plus éloignée, mais la moins encombrée) dans le sens inverse des aiguilles d'une montre par 90 % de la population (celle des droitiers). Il en résulte un fil tordu en S. Le monde romain occidental connaît sans conteste les deux types de dispositifs.²⁷ Par conséquent, il semble raisonnable de ne pas attribuer systématiquement les tissus confectionnés à partir de filés S à des productions étrangères. Il existe une forte probabilité pour que les tissus de Cumes soient de provenance locale.

On soulignera leur parfaite similarité tant au niveau des modes de conservation que de la matière première, de la torsion des fils, de la réduction et de l'armure de tissage. Bien qu'il soit souhaitable de multiplier les analyses d'échantillons issus de tels contextes pour en assurer l'hypothèse, les tissus en présence pourraient correspondre à un type de toile communément utilisée pour emballer les ossements.

On souffre néanmoins d'un déficit important concernant l'analyse du mobilier en matière périssable. De nombreuses publications traitent des contenants à incinération, mentionnent parfois la présence de vestiges organiques mais il n'existe à ce jour quasiment aucune étude de ce matériel, parfois absent il est vrai, mais à n'en pas douter, parfois présent aussi.

En juin 2013, dans le même secteur, la fouille d'un autre tombeau dont la chambre renfermait plusieurs urnes, a également livré un reste de tissu plaqué contre une urne cinéraire de même type que celles exposées ici. Le vestige se trouvait, non à l'intérieur, mais à l'extérieur de l'urne collé contre le fond. Plusieurs hypothèses pourraient expliquer cette situation : soit un tissu emballait l'urne, soit l'urne était déposée sur un arrangement d'étoffes, soit elle était habillée des vêtements du défunt comme le suggèrent les vestiges de Tarquinia, plus anciens il est vrai.

Cet exemple illustre une fois encore l'importance des informations véhiculées par le repérage et l'analyse des restes textiles.

Pour comparaison, on mentionnera l'étude de restes textiles recueillis à Pompéi sur la nécropole de *Porta Nocera*.²⁸ L'un d'entre eux notamment, présen-

²⁵ Wild 2002, 10.

²⁶ Médard 2008.

²⁷ Médard 2010.

²⁸ Moulherat 2013.

vé dans une urne cinéraire (sépulture 45, US 234257.1), est confectionné en armure toile à partir de fibres libériennes. Les fils simples sont de torsion Z et mesurent environ 0,2 mm de diamètre ; la réduction atteint 20 fils/cm en OY et 26 coups /cm en OX. Ce tissu et ceux de Cumes sont assez proches d'un point de vue technique.

4. Conclusion

Le petit tombeau de *Vitrasia Canthara* et de deux *liberti* de *Staius Obinius* est édifié probablement vers 50-20 av. J.-C., le long d'une des principales routes d'accès à la ville, à peu de distance des murailles urbaines.

Au I^{er} siècle av. J.-C., les sépultures secondaires à crémation sont attestées à Cumes pour des individus adultes des deux sexes issus de classes sociales différentes ; elles sont associées à diverses architectures funéraires.²⁹

À l'intérieur de deux des trois urnes des restes de tissus ont été mis au jour. Leur étude montre qu'il existe une forte probabilité pour que ces tissus correspondent à un type de toile (dans le cas de la sépulture SP37044 vraisemblablement du lin) communément utilisée pour emballer les restes osseux (sac, linge replié?) ; ils pourraient être de provenance locale.

Dans un passage du livre XIX de *l'Histoire Naturelle*, Pline l'Ancien fait l'éloge des vertus du lin de Cumes, de ses utilisations et de sa production :

« Le lin de Cumes, en Campanie, est aussi réputé pour la pêche et la chasse aux oiseaux. Il sert également à faire des panneaux de chasse, car nous ne tendons pas avec le lin des pièges de moindre dimension à tous les animaux qu'à nous-mêmes ; mais les panneaux de Cumes coupent les soies du sanglier et tranchent mieux que le fer. Nous en avons vu de si fins qu'ils passaient avec leurs ralingues à travers une bague et qu'une seule personne en portait un grand nombre, de quoi enceindre des forêts. Et ce n'est pas une grande merveille que chaque fil en soit formé de cent cinquante brins, comme naguère le filet de Julius Lupus, qui mourut préfet d'Égypte ».³⁰

De même, le poète *Grattius*, un auteur mineur d'époque augustéenne, nous confirme la production

et la renommée de ce textile à Cumes : « Les marais de Cyniphe, n'en doutez pas, fournissent un lin excellent. Celui qui couvre la vallée de Cumes (*Aeolia de valle Sibyllae*) et les riches plaines de la Toscane est également estimé ».³¹

Au Moyen Âge, le lac Fusaro au sud de Cumes est devenu un *infusarium*, lieu où l'on faisait rouir le chanvre et le lin ; le nom, générique, est devenu au fil du temps le toponyme *Ifosarium*, puis *Sfosarium* et à l'époque angevine *Fusarium* ou *Fusarium*. *Fusari* étaient dits en Campanie à cette époque les cours d'eau destinés à la macération du chanvre et du lin.³²

Déposer des os brûlés dans une urne est une pratique courante dans le monde romain. Des exemples d'urnes cinéraires associées à des restes de tissus piégés sur les parois des vases ou associés aux restes osseux ont parfois été observés.³³ La présence de tissus à l'intérieur d'urnes cinéraires s'inscrit dans une pratique qui remonte à l'âge du bronze.³⁴

Les sources littéraires grecques et romaines, ainsi que l'iconographie, ne sont pas très précises sur la crémation des défunts (bûcher et modes opératoires) et surtout sur la récolte des ossements (*l'ossilegium*), même si elles sont souvent évocatrices. Il suffit de citer, dans *l'Iliade*, les célèbres passages des funérailles de Patrocle (XXIII, 236-257) et d'Hector (XXIV, 788-800)³⁵ ou, dans *l'Enéide*, les funérailles de Misène (VI, 211-235). Quelques informations peuvent être extraites aussi des descriptions que font Dion Cassius des funérailles d'Auguste (LVI, 42) et Hérodien de ceux de Septime Sévère (III, 15). Quelques *Élégies* de Tibulle (I, 3 5) sont également éloquentes sur le sujet.

Il s'agit néanmoins de récits relatant des funérailles héroïques ou impériales, sans doute assez éloignées de celles des trois affranchis du tombeau cumain. Néanmoins, si les funérailles héroïques concernent des matériaux et des pompes particulièrement riches, on peut identifier les mêmes rituels funéraires, tel le recueillement des os incinérés dans des urnes ; ici, dans des vases de moindre valeur.

La fouille des ossuaires et l'étude anthropologique ont apporté des informations précieuses sur les pratiques post-crématoires et sur certains gestes inhérents à la conduite d'une crémation, à la collecte finale des restes osseux et à la mise au tombeau.³⁶

²⁹ Brun et Munzi 2011 ; sur la sépulture à crémation du mausolée circulaire à tumulus A2 : Brun *et al.* 2011.

³⁰ Pline, *NH* XIX, 2, 10.

³¹ Grattius, *Cynegetica*, 35.

³² Caputo 2006, 113.

³³ Lorquin et Moulherat 2002.

³⁴ Verger 1997.

³⁵ Après l'extinction du bûcher avec du vin on recueille les ossements du mort qui sont placés dans un contenant en or. Dans les deux cas, après avoir placés les os dans l'urne ou dans un coffret, il est question d'un tissu. Il n'est pas clair si le tissu entoure les ossements ou le contenant. Pour Patrocle il s'agit d'un tissu de lin, alors que pour Hector il est question de tissus pourpres.

³⁶ L'analyse des restes humains issus de sépultures à crémation prend en considération des protocoles qui sont aujourd'hui bien réglés : Duday *et al.* 2000 ; Duday 2013, 5-16 et 861-907. Voir aussi Blaizot 2009, en particulier le chapitre III, « Les pratiques postcrématoires dans les bûchers », 151-174 ; citons aussi Grévin 2005.

Les os déposés dans les vases-ossuaires du tombeau MSL37024 sont parfaitement propres et une représentation presque équilibrée des diverses parties du corps a été observée. La collecte des fragments d'os brûlés sur l'aire ou les aires de crémation dans les trois cas peut être considérée comme quasi complète. La répartition verticale des différentes régions du squelette dans les trois urnes indique toutefois quelques différences.

Dans le cas de la femme relativement âgée (*Vitrasia Canthara* ?), la collecte des os, après avoir commencé par les fragments les plus importants, s'est achevée par la récupération des esquilles. La répartition verticale inhabituelle des ossements pourrait être expliquée, soit par le fait qu'ils ont été directement déposés dans l'urne au fur et à mesure du ramassage, soit qu'ils ont placé dans un réceptacle transitoire (un sac ?) ensuite déposé "à l'endroit" dans l'urne. Toutefois aucune trace d'un contenant n'a été détectée.

Pour les deux hommes, *Staius Obinius Hermia* et *Staius Obinius Primus*, la situation apparaît quelque peu différente. La répartition verticale des os dans l'ossuaire 37031/SP37043 indique que la logique anatomique est en partie respectée.

La collecte des restes brûlés du défunt a commencé par le ramassage des fragments les plus volumineux et s'est achevée par le ramassage des os plus petits. Au fur et à mesure, les restes osseux ont dû être placés dans un sac ou dans un linge replié ensuite déposé "à l'envers" à l'intérieur de l'urne.

Dans le dernier cas, 37032/SP37044, la distribution verticale des fragments ne répond pas à une logique anatomique. Pendant la collecte, les os brûlés ont été placés dans deux contenants en tissu (sacs ou linges repliés) placés ensuite l'un au-dessus de l'autre dans l'urne cinéraire.

Ces observations montrent donc que dans le cas des trois affranchis du tombeau MSL37024 aucune règle n'a régi les modalités de récolte des os brûlés sur le bûcher, ni leur dépôt à l'intérieur d'un ossuaire. Les restes osseux des deux hommes, paraissent avoir été préalablement placés dans une sorte de sac avant d'être déposés dans le vase, une simple marmite de cuisine, elle-même déposée ensuite dans le *locus sepulturae*.

Une comparaison intéressante peut être établie avec l'étude approfondie du quartier funéraire de la nécropole de Porta Nocera à Pompéi, entre la fin de

l'époque républicaine et l'époque flavienne, où un ensemble de 64 sépultures à crémation a été étudié.³⁷ La distribution verticale des régions anatomiques à l'intérieur du réceptacle funéraire dans la plupart des tombes semble parfaitement aléatoire.³⁸ La prise en compte de plusieurs paramètres dans la fouille des réceptacles a permis d'approfondir les modalités de la collecte et de définir des tendances. Parmi l'ensemble des sépultures, cinq ont livré des fragments de textiles et la totalité des fibres observées appartient au lin.³⁹ Toutefois, l'étude anthropologique a permis de déterminer la présence d'un réceptacle transitoire (tissu ?) dans bien d'autres cas, déposé avec les os dans l'urne ou à partir duquel les os ont été déversés dans le cinéraire.⁴⁰

En conclusion, l'étude pluridisciplinaire menée sur le tombeau MSL37024 a suivi une approche qui, partant des différentes méthodes de recherche propres à chaque savoir associé à cette étude et orientée dans une perspective historique, a permis une plus grande et ample définition du contexte socio-culturel dans lequel s'insèrent les temps et les modes des pratiques funéraires observés pour ce groupe de sépultures. Cette recherche a apporté aussi des nouveaux éléments pour l'étude de l'artisanat textile en Italie et plus particulièrement à Cumès où les auteurs antiques témoignent de sa présence. Malheureusement, alors que les vestiges archéologiques pourraient confirmer l'existence d'une production locale de lin, les analyses carpologiques n'en attestent pas encore la culture dans ce territoire.

Bibliographie

- BLAIZOT (2009) : F. Blaizot, *Pratiques et espaces funéraires dans le Centre et le Sud-Est de la Gaule durant l'Antiquité*, Paris.
- BOTTE et CAVASSA (2008) : E. Botte et L. Cavassa, « Monumento funerario con incinerazioni (di Vitrasia Canthara) », dans F. Zevi, F. Demma, E. Nuzzo, C. Rescigno et C. Valeri (éds.), *Museo archeologico dei Campi Flegrei. Catalogo generale. Cuma*, Naples, 400-401.
- BRUN et MUNZI (2009) : J.-P. Brun et P. Munzi, « Cuma: un gruppo di monumenti funerari dalla necropoli romana della Porta mediana », dans C. Gasparri, G. Greco (éds.), *Atti della Giornata di studi, indagini archeologiche e nuove scoperte a Cuma* (Napoli 12 dicembre 2007), Naples, 229-247.
- BRUN et MUNZI (2011) : J.-P. Brun et P. Munzi, « Les travaux du Centre Jean Bérard au nord de l'enceinte urbai-

³⁷ Van Andringa *et al.* 2013.

³⁸ DUDAY 2013, 877: "les différentes parties du squelette se répartissent de manière sensiblement homogène sur toute la hauteur de l'urne: la crémation a peut-être été « conduite » (l'*ustor* rabattant progressivement vers la partie centrale du bûcher les parties périphériques du corps ou procédant à un ou plusieurs ringardages pendant la combustion), mais il se peut aussi que le « désordre », c'est-à-dire le mélange des diverses régions anatomiques, soit lié aux modalités de la collecte des os brûlés sur l'aire de crémation ou encore au déversement des os dans l'urne cinéraire".

³⁹ Moulherat 2013.

⁴⁰ DUDAY 2013, 887-895.

- ne et au sud de l'acropole de Cumes », *BSFAC* XLI, 2009-2010, *RevArch* 51, 150-172.
- BRUN *et al.* (2012) : J.-P. Brun, P. Munzi, L. Cavassa, S. Le Berre, N. Meluziis, D. Neyme, « Cumes », *Chronique des activités archéologiques de l'École française de Rome* (en ligne le 19 décembre 2012, <http://cefr.revues.org/633>).
- BRUN *et al.* (2013) : J.-P. Brun, P. Munzi, L. Cavassa, G. Chapelin, A. Cormier, H. Duday, S. Gualandi, St. Le Berre, B. Lemaire, N. Meluziis, D. Neyme, J.-M. Piffeteau et A. Watel, « Cumes », *Chronique des activités archéologiques de l'École française de Rome* (en ligne, mis le 28 juin 2013, <http://cefr.revues.org/989>).
- CAMODECA (1999) : G. Camodeca, *Tabulae Pompeiana Sulpiciorum (TPSulp.)*, Edizione critica dell'archivio puteolano dei Sulpicii, Rome.
- CAMODECA (2008) : G. Camodeca, *I ceti dirigenti di rango senatorio, equestre e decurionale della Campania romana*, I, Naples.
- CAMODECA (2013) : G. Camodeca, « Novità sulle iscrizioni senatorie da Teanum e Cales », dans *Le epigrafi della valle di Comino*. Atti del nono Convegno epigrafico cominese, Alvito, Istituto comprensivo Mario Equicola, 13 ottobre 2012, San Donato Val di Comino, 41-58.
- DI GIOVANNI (1996) : V. Di Giovanni, « Produzione e consumo di ceramica da cucina nella Campania romana (II a.C.-II d.C.) », dans M. Bats (éd.), *Les céramiques communes de Campanie et de Narbonnaise (Ier s. av. J.-C. – IIè s. ap. J.-C.)*. La vaisselle de cuisine et de table. Actes de la journée d'étude organisées par le Centre Jean Bérard et la Soprintendenza Archeologica per le Province di Napoli e Caserta, Naples, 27-28 mai 1994, Naples, 65-103.
- DUDAY (2013) : H. Duday, « L'étude anthropologique des sépultures à crémation », dans W. Van Andringa, H. Duday et S. Lepetz (éds.), *Mourir à Pompéi, fouille d'un quartier funéraire de la nécropole de Porta Nocera (2003-2007)*, Rome, 5-16.
- DUDAY (2013) : H. Duday, « Des défunts, des bûchers et des tombes : les enseignements de l'anthropologie, le renouveau des méthodes », dans W. Van Andringa, H. Duday et S. Lepetz (éds.), *Mourir à Pompéi, fouille d'un quartier funéraire de la nécropole de Porta Nocera (2003-2007)*, Rome, 861-907.
- DUDAY *et al.* (2000) : H. Duday, G. Depierre et T. Janin, « Validation des paramètres de quantification, protocole et stratégies dans l'étude anthropologique des sépultures secondaires à incinération : l'exemple des nécropoles protohistoriques du Midi de la France », dans B. Dedet, P. Gruat, G. Marchand, M. Py et M. Schwaller (éds.), *Archéologie de la mort : archéologie de la tombe au premier Âge du Fer*. Actes du XXIe Colloque international de l'AFEAF, Colloques Montrozier 1997, Lattes, 7-30.
- GRÉVIN 2005 : G. Grévin, « La crémation sur bûcher dans l'Antiquité à la lumière de l'ethnoarchéologie », *Ktéma* 30, 15-20.
- MÉDARD (2008) : F. Médard, *Les vestiges textiles de Pompéi*, rapport d'activité scientifique (inédit).
- MÉDARD (2010) : F. Médard, *L'activité textile à Pompéi. Analyse des outils de production et des restes textiles*, rapport d'activité scientifique (inédit).
- LORQUIN et MOULHERAT 2002 : A. Lorquin et C. Moulherat, « Étude des vestiges textiles de la sépulture gallo-romaine de Fontvielle à Vareilles (Creuse) », *Aquitania* 18, 186-192.
- MOULHERAT (2013) : C. Moulherat, « Des linges et des sacs pour les restes osseux : les vestiges de tissus », dans W. Van Andringa, H. Duday et S. Lepetz (éds.), *Mourir à Pompéi, fouille d'un quartier funéraire de la nécropole de Porta Nocera (2003-2007)*, Rome, 1105-1118.
- MOULHERAT (2002) : C. Moulherat et A. Lorquin, « Etude des vestiges textiles de la sépulture gallo-romaine de Fontvielle à Vareilles (Creuse) », *Aquitania* 18, 186-192.
- SALOMIES (2008) : O. Salomies, « Les prénoms italiques : un bilan de presque vingt ans après la publication de Vornamen », dans *Les Prénoms de l'Italie antique*. Journée d'études, Lyon, 26 janvier 2004, Pisa - Rome, 15-38.
- VAN ANDRINGA *et al.* 2013 : W. Van Andringa, H. Duday et S. Lepetz (éds.), *Mourir à Pompéi, fouille d'un quartier funéraire de la nécropole de Porta Nocera (2003-2007)*, Rome.
- VERGER (1997) : S. Verger, « L'incinération en urne métallique : un indicateur des contacts aristocratiques transalpins », dans J.-P. Brun et B. Chaume (eds.), *Vix et les éphémères principautés celtiques*. Actes du colloque de Châtillon-sur-Seine, octobre 1993, Paris, 223-238.
- WILD (1970) : J. P. Wild, *Textile manufacture in the northern Roman provinces*, Cambridge.
- WILD (2002) : J. P. Wild, « The textile industries of Roman Britain », *Britannia* XXXIII, 1-42.



La Economía antigua tuvo unas cotas mayores de desarrollo de lo que tradicionalmente se cree. Avances tecnológicos y mayor difusión de una producción cada vez más depurada y diversificada es hoy aceptada por los estudiosos. La V edición del Simposio sobre Textiles y Tintes de la Antigüedad, siguiendo la línea de actuación establecida desde 2002 en Ibiza, nos ofrece una serie de trabajos de variado contenido dentro de la temática general de estudio que marcan estas periódicas reuniones. Los avances experimentados en los últimos años, en estas y en las muchas publicaciones que aparecen cada día referentes al textil, permiten que se haya dado un giro copernicano en cuanto a la aceptación de la importancia que la producción y el comercio de materias primas y productos acabados (en general) tuvieron para la sociedad grecorromana y sus áreas cercanas.

En esta ocasión tuvimos el honor y el placer de poder desarrollar las quintas jornadas en el marco incomparable del Monasterio de Montserrat (Barcelona), a cuyos responsables de la Orden Benedictina y sus ayudantes damos las gracias más efusivas.

Es un placer anunciar que el próximo Simposio tendrá lugar en Octubre 2016 en la Universidad de Padua, bajo la dirección ya de la Profesora M. Stella Busana, la Dra. Margarita Gleba (Universidad de Cambridge) y el Dr. F. Meo (Universidad de Lecce). Nuestros deseos de continuidad de estas reuniones van dirigidos a todos los autores que las han hecho posibles a lo largo del tiempo y a quienes se quieran sumar a ellas en futuras reuniones.

